

平らでない底を持つ場合の二元の非線形波動

東大工 矢嶋 徹 (Tetsu Yajima)

東大工 西成活裕 (Katsuhiro Nishinari)

0° はじめに

一次元の系における非線形波動の研究は精力的に行なれて来て、様々な有意義な結果が生まれた。その一つが、KdV方程式や非線形シュレーディンガー方程式をはじめとする非線形可積分方程式の研究であり、そこから局在構造をもつ解としてソリトンが得られた。ソリトンは相互作用の下での安定性をもち、裾が指数的に減衰する形で局在している構造で、孤立波としての性質と粒子的な性質を併せ持つものである。この解に対しては様々な意味での振動に対する安定性が議論されていく。

これに対して、二元以上の系になつてみると、局在構造を持つような解はあまり知られていない。上記のソリトン解を持つ高次元方程式としてはKP方程式が挙げられるが、これは一方向にのみ局在してソリトン解である。ソリトン解以

外の高次元局在構造としては、ドロミオンが挙げられよう。これは空間二次元、時間一次元の系におけるデーベー＝スクエアートソン（以下DS）方程式の解で、指数的不穩定をもつ、[†]二次元的に局在したものである。しかし、ドロミオンは、互いの相互作用の下で粒子数が保存しない例が存在するなど、ソリトンとはかなり異なる性質をもつ。また、高次元の構造であるため、厳密解としての議論は数多くなされてはいるが、例えば、ドロミオンの安定性などを詳細に論じたものは少ないようと思われる。

本稿では、不均一系におけるソリトンのふるまいとの対比を考え、平らでない底面の影響をとり入れた二次元の流体における DS 方程式がどうのような変形を受けるかを考える。また、将来の安定性の議論をするめることを目標にして、まずドロミオン解の数値計算を実行する。

1° DS 方程式とドロミオン解

この節では以下の計算のために、流体系における DS 方程式の導出⁽²⁾を簡単にまとめ、併せてドロミオン解（1-ドロミオン解）⁽³⁾の形を示す。

[†]: 二次元的には局在しているが、指数的には dump しないよう⁽⁴⁾な構造としては、KP 方程式の lump 解が一例である。

まず、流体として非圧縮性完全流体を考えることにする。
流れは速度ポテンシャル $\phi(x, y, z, t)$ によって表わされ。
中はラプラス方程式をみたす。

$$\phi_{xx} + \phi_{yy} + \phi_{zz} = 0 \quad (-H < z < \zeta(x, y, t)) \quad (1a)$$

$T=T^*=0$ 。又直角は鉛直方向と平行にとり、 $z=\zeta(x, y, t)$ は流体の表面をあらわすものとする。境界条件として、底面 ($z=-H$) と表面 ($z=\zeta(x, y, t)$) 2次の3つの条件を考える。

$$\phi_z = 0 \quad (z = -H) \quad (1b)$$

$$\phi_t + g\zeta + \frac{1}{2}(\phi_x^2 + \phi_y^2 + \phi_z^2) = 0 \quad (z = \zeta(x, y, t)) \quad (1c)$$

$$\phi_z = \zeta_t + \phi_x \zeta_x + \phi_y \zeta_y \quad (z = \zeta(x, y, t)) \quad (1d)$$

これら4つの方程式に対して逕減擾動法を適用する。⁽²⁾すなはち、群速度 v_g と展開パラメタ ε を用いて独立変数を

$$\xi = \varepsilon(x - v_g t), \quad \eta = \varepsilon y, \quad \tau = \varepsilon^2 t \quad (2a)$$

のように変換し、従属変数を

$$\phi = \sum_{n=1}^{\infty} \sum_{l=-n}^n \phi_l^{(n)}(\xi, \eta, z, \tau) \varepsilon^n e^{il(kx - \omega t)} \quad (2b)$$

$$\zeta = \sum_{n=1}^{\infty} \sum_{l=-n}^n \zeta_l^{(n)}(\xi, \eta, \tau) \varepsilon^n e^{il(kx - \omega t)} \quad (2c)$$

と展開する。これら式 (1a~d) に代入して ε と $e^{i(kx - \omega t)}$ の各オーダーで比較して、変数 A, Q, Σ

$$A \equiv \phi_1^{(1)} \cosh(kH) / \cosh k(z+H) \quad (3a)$$

$$Q \equiv v_g \phi_0^{(1)} \xi / k^2 - v_g (2 \frac{\omega}{k} + v_g (1 - \tanh^2 kh)) |A|^2 / (gk - v_g^2) \quad (3b)$$

で導入すると、 A, Q は次して

$$\left\{ \begin{array}{l} iA_{\tau} + \frac{1}{2}(A_{\xi\xi} + A_{\eta\eta}) = \nu |A|^2 A + AQ \\ Q_{\xi\xi} + Q_{\eta\eta} = \kappa (|A|^2)_{\eta\eta} \end{array} \right. \quad (4a)$$

$$Q_{\xi\xi} + Q_{\eta\eta} = \kappa (|A|^2)_{\eta\eta} \quad (4b)$$

を得る。 $T = T = "L$ 、 ξ, η, τ, A, Q を適当にステークルし直して。

また、表面張力の効果をとり入れるなどした場合に第=式が

$$Q_{\xi\xi} + Q_{\eta\eta} = \kappa (|A|^2)_{\eta\eta} \quad (4b')$$

となる場合がある。⁽⁵⁾ 前者(4)を DS2 方程式・後者(4')を DS1 方程式といふ。変数 A は、表面波束の振幅を表わし、 Q は表面波と相互作用する平均流を表わす。⁽⁶⁾

DS1 方程式はドロミオン解と呼ばれる。二次元的に局在し T 解をもつ。これに対して DS2 方程式はそのような構造をもつ解ではなく、KP 方程式のソリトン解のように一方向にのみ局在し T 解しか知られていない。

ドロミオン解は最初に Boiti と 1 によって Bäcklund 変換を用いて得られ、Fokas と Santini により逆散乱形式でまとめられた。⁽³⁾ 式(4a)と(4b')を用い、 $X \equiv \xi + \eta$, $Y \equiv \xi - \eta$ として。

$$Q(X=0, Y, \tau) = Q_1(Y, \tau) = \frac{2\lambda_R^2}{\cosh^2 \lambda_R (Y + 2\lambda_I t - Y_0)} \quad (5a)$$

$$Q(X, Y=0, \tau) = Q_2(X, \tau) = \frac{2M_R^2}{\cosh^2 M_R (X + 2\mu_I t - X_0)}$$

のように境界を与えると ($T = T = "L$, $\lambda_R, \lambda_I, \mu_R, \mu_I, X_0, Y_0$ は $1^\circ \times \epsilon$)。

$$A = \frac{4\sqrt{\lambda_R \mu_R} \exp\left\{-[\lambda_R \hat{X} + \mu_R \hat{Y}] + i[-(\lambda_I \hat{X} + \mu_I \hat{Y}) + (|\mu|^2 + |\lambda|^2)t] + \phi\right\}}{\{1 + \exp(-2\lambda_R \hat{X})\} \{1 + \exp(-2\mu_R \hat{Y})\} + 181^2}$$

$$\hat{X} \equiv X - 2\mu_I t - X_0, \hat{Y} \equiv Y - 2\lambda_I t - Y_0, \mu = \mu_R + i\mu_I, \lambda = \lambda_R + i\lambda_I$$

(5b)

ϕ , ϕ は $10^\circ \times \theta$

となる。(1-ドロミオン解)

この解は、右図のように $X, Y = 0$ の境界で、動く局在構造の形で平均流 Q を与え、それに伴って (5b) の局在した構造が引っぱられて動くしくみである。(右図1
斜線部)

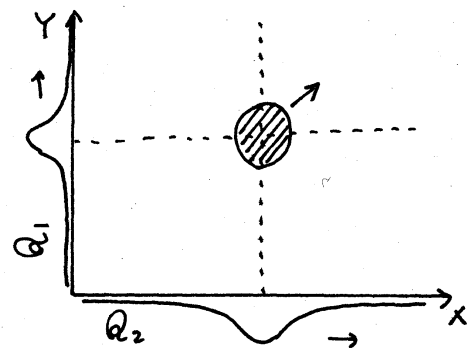


図 1-

一般に任意に初期条件・境界条件を与えた場合に A, Q がどのように決まるかは不明で、数値計算により初期値境界値問題を解析することの重要性は明らかである。

2° 平らでない底による擾動。

ドロミオン解の擾動を解析するためにはまず平らでない底の効果をとり入れたモデル方程式を導出しよう。これは、一次元における不均一系での非線形波動に関する議論⁽¹⁾の二次元への拡張である⁽⁷⁾。

ます。基本となる式は前節の (1a) であるが、底面の反座

標が一定でないため ($1b \sim d$) が変化する。ドロミオン解を考
えるので最初から表面張力をとり入れると、

$$\phi_{xx} + \phi_{yy} + \phi_{zz} = 0 \quad (-H(x,y) < z < \zeta(x,y,t)) \quad (6a)$$

$$H_x \phi_x + H_y \phi_y + \phi_z = 0 \quad (z = -H(x,y)) \quad (6b)$$

$$\phi_t + g\zeta + \frac{1}{2}(\phi_x^2 + \phi_y^2 + \phi_z^2) = \frac{T}{\rho R} \quad (z = \zeta(x,y,t)) \quad (6c)$$

$$\phi_z = \zeta_t + \phi_x \zeta_x + \phi_y \zeta_y \quad (z = \zeta(x,y,t)) \quad (6d)$$

$$\frac{1}{R} \equiv [(1+\zeta_x^2)\zeta_{yy} + (1+\zeta_y^2)\zeta_{xx} - 2\zeta_x \zeta_y \zeta_{xy}] (1+\eta_x^2 + \eta_y^2)^{-\frac{3}{2}}$$

この方程式系に対して遮減振動法を適用する。変数変換につ
いては (2) の 3 つの式をそのまま使う。また、底の形状 $H(x,y)$
については以下仮定をする：(i) H は x ($\therefore \xi, t$) にしか依存
しない。つまり y 方向に一定の段状にはならない。 (ii) H の
空間的変化は、波動の x 方向への特徴的長さに比べてゆるく
りと変化する。この条件下で、 $H \in \Sigma$ のベキで展開しよう。

$$H(x) = \sum_{n=0}^{\infty} \varepsilon^n H^{(n)}(\xi, t) \quad (7)$$

式 (2) より μ (7) を (6) に代入した結果、 $\Gamma_0 = 0$ けれども α と
全く同様の手順によりモデル方程式が得られる。その低次の
ベキの比較による結果も併記して。

$$O(\varepsilon) : \begin{cases} \phi_{0z}^{(1)} = 0, \quad \phi_1^{(1)} = \frac{A \cosh(k(z+H))}{\cosh(kH^{(0)})} \\ \zeta_0^{(1)} = 0, \quad (1+k^2 \frac{T}{\rho g}) \zeta_1^{(1)} = i \frac{\omega}{g} \phi_1^{(1)} \\ \omega^2 = gk (1+k^2 \frac{T}{\rho g}) \tanh((\zeta+H)k) \end{cases}$$

$$O(\epsilon^2) : \begin{cases} \phi_{02}^{(2)} = 0, \quad \phi_2^{(2)} = C_2^{(2)} \cosh(2k(z+H)) \\ v_g = \frac{\partial \omega}{\partial R}, \quad H_{\xi}^{(0)} = 0 \end{cases}$$

このオーダーまでは一次元の場合と概ね一致している。次のオーダーは紙数の制約により書き切れないので結果のみ記す。

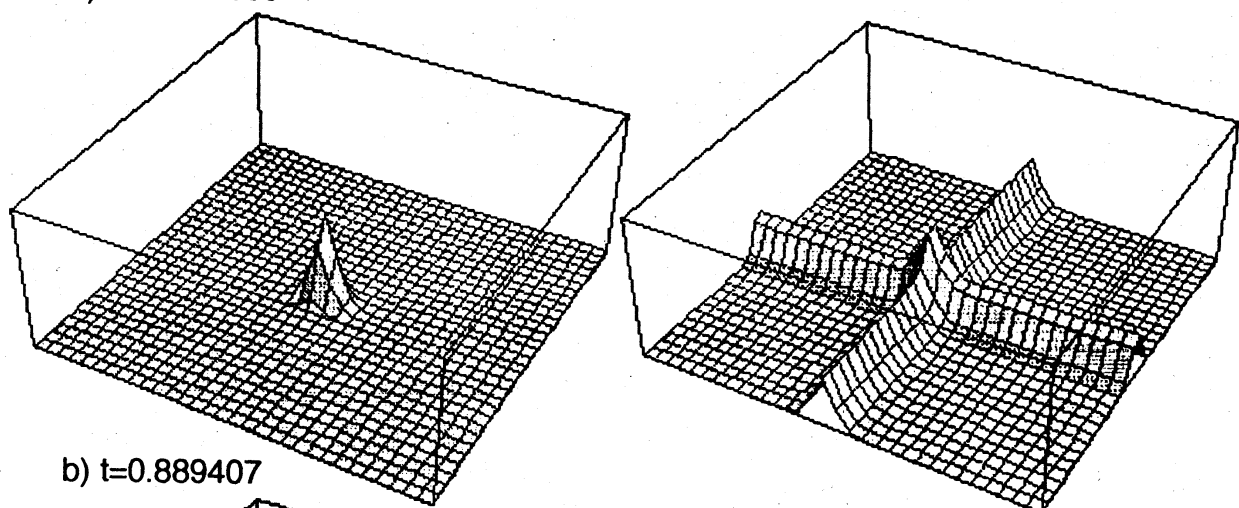
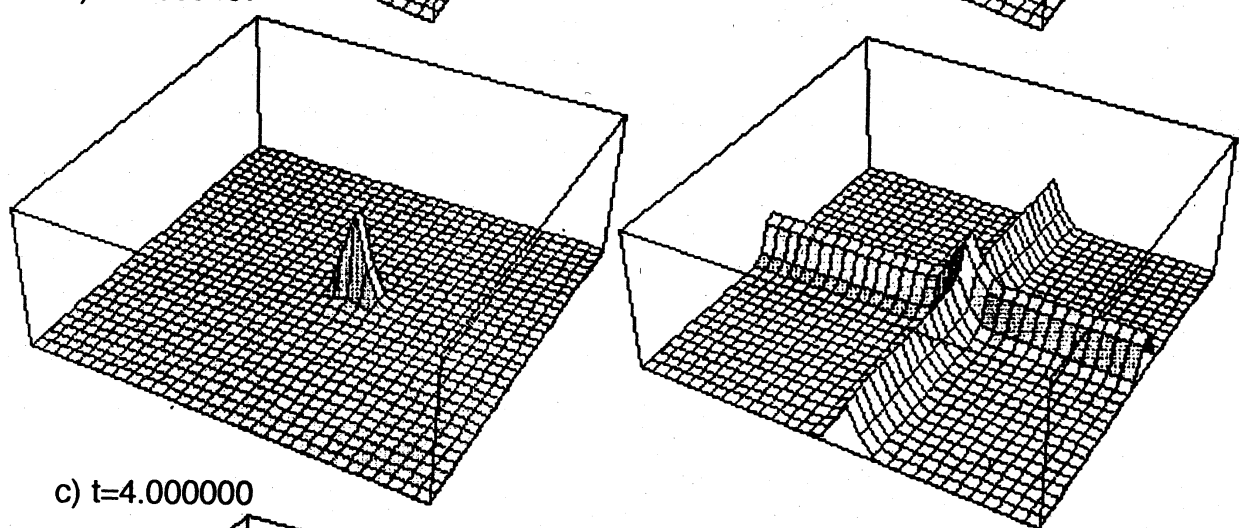
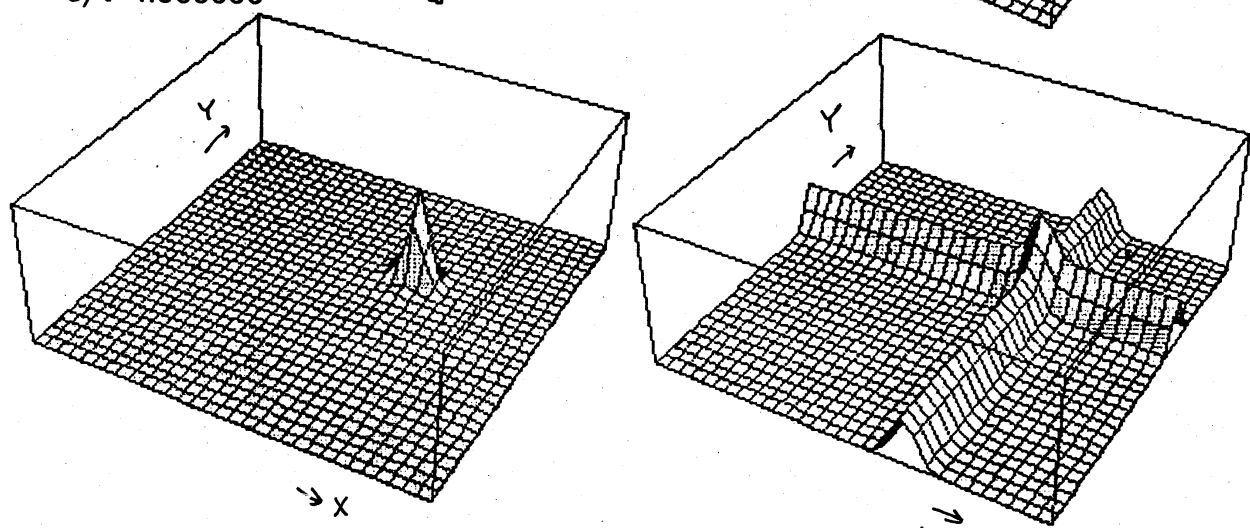
$$\begin{cases} iA\tau + (A_{\xi\xi} + A_{\eta\eta})/2 = \nu |A|^2 A + \nu' A Q + (\mu_1 + A\mu_2) H_{\tau}^{(0)} \\ Q_{\xi\xi} - \sigma Q_{\eta\eta} = K(|A|^2)_{\eta\eta} \end{cases} \quad (8)$$

を得る。係数 $\nu, \nu', K, \mu, \sigma$ は (H によらず) パラメタである。方程式が DS1 型か DS2 型かを決めるのはさてあるが、既に述べたようにこれは H によらずの事。無運動の場合と同様の議論が成り立つ。

3° ドロミオン解の数値計算⁽⁸⁾

前節のようにして底が平らでない場合のモデル方程式が得られた。最終的には (8) 式に対する数値計算を行なうのが目標であるが、ドロミオンの安定性や、スキームの検討などのためには $(4a, b')$ を (5) の 1-ドロミオンの初期条件の下で解析したもののが次頁図 2 である。空間方向のマッシュの数は x, y ともに 32 として。

前述の通り、 Q は X, Y を固定した線上で与え、それを動かすことによって A がつられて動いていく様子がわかる。

1) DS1(Dromion)a) $t=1.000000$ b) $t=0.889407$ c) $t=4.000000$ 

A

2.

Q

この結果から、ドロミオンは、自分自身の大きさ程度の長さは安定して伝播し得ることわかる。そのため、 τ° - ζ の高さの時間変化は、相対誤差として 10^{-3} 程度、また DS1 方程式の保存量の変化は、第一保存量 ($\int dx dy |A|^2$: 質量に相当) で 10^{-8} 、第二保存量 (エネルギーに相当) で 10^{-6} 程度であり、相当安定にふるまうことわかる。 τ° - ζ の高さの変化が少し大きいが、これはメッシュの粗さに關係しているものと思われる。

4° 今後の展望

本稿では、底が平面ではない状況で、二元的ない局在解の時間発展を記述する DS1 方程式がどのような変化を受けるかを論じ、また、この方程式の解のふるまいを解析することを目標にして、ドロミオン解の数値計算を行なう。その結果、ドロミオンは擾動を全く受けない状況下ではかなり安定に伝播しうることが示唆された。

今後の展望としては、(8) の数値解析のはか、様々な初期・境界条件での局在構造の時間発展の解析を考えられる。これについては現在進行中であり、ある程度の結果が得られていいが、現在準備中の別の論文に譲る⁽⁹⁾。

最後に、数値計算の上で有益なアドバイスを頂きました、

九州大学総合理工学研究科の田中雅慶博士、DS 方程式全般
について活発な議論をしていただきました。東京大学理学
部の中尾竹伸氏に深く感謝申し上げます。

5° References

- [1] O.S. Madsen and C.C. Mei : J. Fluid Mech 39 (1969) 781; T. Kakutani : J. Phys. Soc. Jpn. 30 (1971) 272; N. Asano and H. Ono : J. Phys. Soc. Jpn 31 (1971) 1830; T. Iizuka : Univ. of Tokyo, Ph.D. Thesis (1993) and the references therein
- [2] A. Davey and K. Stewartson : Proc. Roy. Soc. London A 338 (1974) p. 101.
- [3] M. Boiti, J. Leon, L. Martina and F. Pempinelli : Phys. Lett. A132 (1988) 432; A. S. Fokas and P.M. Santini : Physica D 44 (1990) 99.
- [4] J. Satsuma and M.J. Ablowitz : J. Math. Phys. 20 (1979) 1496
- [5] V.E. Zakharov and E.A. Kuznetsov : Physica D18 (1986) 455; F. Calogero and W. Eckhaus : Inverse Problems 3 (1987) L27.
- [6] 講演では A を「主流」という語で呼びました。数名の方よりこの語は適切でないとの御指摘を受けましたので、このように呼ぶことに致しました。

[7~9] : K.Nishinari and T.Yajima : in preparation.